



OFICINA ESPAÑOLA DE PATENTES Y MARCAS

ESPAÑA



11) Número de publicación: 2 606 555

51 Int. Cl.:

C07K 14/00 (2006.01) C07K 17/00 (2006.01)

(12)

TRADUCCIÓN DE PATENTE EUROPEA

T3

(86) Fecha de presentación y número de la solicitud internacional: 02.07.2010 PCT/US2010/040949

(87) Fecha y número de publicación internacional: 06.01.2011 WO11003085

96 Fecha de presentación y número de la solicitud europea: 02.07.2010 E 10794828 (3)

(97) Fecha y número de publicación de la concesión europea: 07.09.2016 EP 2448959

(54) Título: HYR1 como objetivo para la inmunización activa y pasiva contra Candida

(30) Prioridad:

03.07.2009 US 223005 P

Fecha de publicación y mención en BOPI de la traducción de la patente: **24.03.2017**

(73) Titular/es:

LOS ANGELES BIOMEDICAL RESEARCH INSTITUTE AT HARBOR-UCLA MEDICAL CENTER (100.0%) 1124 West Carson Street Torrance, CA 90502, US

(72) Inventor/es:

FU, YUE; LUO, GUANPINGSHENG; IBRAHIM, ASHRAF; SPELLBERG, BRAD, J. y EDWARDS, JOHN, E., JR.

(74) Agente/Representante:

LEHMANN NOVO, María Isabel

DESCRIPCIÓN

HYR1 como objetivo para la inmunización activa y pasiva contra Candida

Campo de la invención

La presente invención se refiere a proteínas de pared celular hifal de *Candida*, a anticuerpos que resultan de una respuesta inmunitaria a la vacunación con proteínas de pared celular hifal de *Candida* y a métodos para la prevención y/o tratamiento de la candidiasis y otras infecciones bacterianas con proteínas de pared celular hifal de *Candida*.

Antecedentes de la invención

15

20

35

50

Cada año en los Estados Unidos [1] se producen aproximadamente 60.000 casos de candidiasis diseminada que resultan en gastos de miles de millones de dólares en asistencia sanitaria. Dada la tasa de mortalidad del 40 % en dichas infecciones, existe la necesidad de identificar nuevos objetivos profilácticos o terapéuticos para intervención.

El mecanismo de defensa primario del hospedador contra la candidiasis diseminada es la destrucción fagocítica del organismo [2, 3]. Solo los fagocitos son capaces de destruir directamente a *Candida in vitro* [4]. Además, treinta minutos después de la inoculación intravenosa de *Candida* en ratones, conejos, perros o humanos, las levaduras quedan retenidas dentro del sistema reticuloendotelial, especialmente en el hígado. El hígado, con abundantes macrófagos de Kupffer, es capaz de eliminar el 99,9 % de la levadura en el sistema porta durante una pasada simple [5], enfatizando la eficacia de los mecanismos de defensa fagocíticos contra el hongo. Por consiguiente, la resistencia de *C. albicans* a la destrucción fagocítica es una función de la virulencia del organismo importante.

Las proteínas ancladas por glicosilfosfatidilinositol (GPI, por sus siglas en inglés) en la superficie celular están en la principal interfaz entre el patógeno y el hospedador, lo que convierte a estas proteínas en probables participantes de las interacciones hospedador-patógeno [6].

La patente US 7.241.613B1 describe diversos polipéptidos que se encuentran en la pared celular de los organismos Candida, incluido HYR1 como la SEQ ID N.º:236 y la SEQ ID N.º:326 con la aspiración de prevenir o tratar la candidiasis.

La identificación de efectores en las vías de regulación del organismo que contribuyen a la virulencia ofrece la oportunidad de una intervención terapéutica con métodos o composiciones que son superiores a los agentes antifúngicos existentes. La identificación de proteínas de superficie celular o proteínas hifales que afectan una vía de regulación relacionada con la virulencia es particularmente prometedora porque la caracterización de la proteína posibilita técnicas inmunoterapéuticas que son probablemente superiores o sinérgicas con los agentes antifúngicos existentes para combatir una infección por *Candida*.

La virulencia de C. *albicans* se regula mediante diversos factores de virulencia putativos de los cuales la adherencia a los constituyentes del hospedador y la capacidad de transformarse de levadura a hifas están entre los más esenciales para determinar la patogenicidad. Aunque existen agentes antifúngicos potentes que son microbicidas para *Candida*, la mortalidad atribuible a candidemia es aproximadamente del 38 %, incluso con tratamiento con agentes antifúngicos potentes tales como anfotericina B. Además, los agentes existentes tales como anfotericina B tienden a exhibir una toxicidad indeseable. Aunque se pueden desarrollar antifúngicos adicionales que son menos tóxicos que la anfotericina B, es improbable que se desarrollen agentes más potentes. Por lo tanto, la inmunoterapia pasiva o activa para tratar o prevenir la candidiasis diseminada es una alternativa prometedora a la terapia antifúngica convencional.

40 Por consiguiente, existe la necesidad de inmunógenos eficaces que proporcionarán protección inmunitaria del hospedador y protección inmunitaria pasiva contra *Candida* y otros patógenos relacionados inmunogenéticamente. La presente invención satisface esta necesidad y proporciona además otras ventajas relacionadas.

Compendio de la invención

La presente invención se refiere al antígeno polipeptídico HYR1 de *Candida* y a los usos terapéuticos de dicho antígeno. El antígeno polipeptídico HYR1 de la presente invención puede utilizarse para tratar o prevenir la infección por *Candida* en un sujeto.

Al someter a barrido un nuevo sistema de sobreexpresión/supresión condicional enfocado en las proteínas ancladas por GPI en C. albicans, hemos identificado a HYR1 como un factor de virulencia. HYR1 es un gen coexpresado en hifas, cuya cepa con mutación completa no exhibe ninguna anomalía morfológica in vitro [7]. Más adelante proporcionamos resultados que demuestran que HYR1 media la resistencia a la destrucción fagocítica in vitro, modula la carga fúngica tisular in vivo y es, por lo tanto, un objetivo de vacunación para reducir la gravedad de la candidiasis diseminada.

Definiciones

15

20

30

40

45

50

Un polipéptido «HYR1» un polipéptido que es sustancialmente idéntico a la secuencia de aminoácidos de SEQ ID N.º: 1. El fragmento del polipéptido HYR1 según la presente invención tiene al menos 95 %, 99 % o incluso 100 % de identidad con la secuencia de aminoácidos de SEQ ID N.º: 2.

- Los fragmentos de HYR1 adicionales deseables contienen una o más sustituciones de aminoácidos conservadoras en la secuencia de SEQ ID N.º: 2 y/o al menos un aminoácido flanqueador (por ejemplo, 1, 2, 3, 4, 5, 6, 7, 8, 9 o 10 aminoácidos flanqueadores) en el extremo N y/o C de la secuencia de SEQ ID N.º: 2. Otros fragmentos de HYR1 preferidos contienen siete o más aminoácidos continuos de la secuencia de SEQ ID N.º: 2.
- «Sustancialmente idéntico» significa un polipéptido que exhibe al menos 95 % y de forma más deseable 99 % de identidad en la secuencia de aminoácidos con respecto a una secuencia de aminoácidos de referencia. La longitud de las secuencias de comparación es la secuencia de aminoácidos de longitud completa.
 - La identidad de secuencia se puede medir utilizando un programa informático de análisis de secuencias con su configuración predeterminada (por ejemplo, el Sequence Analysis Software Package del Genetics Computer Group, Universidad de Wisconsin Biotechnology Center, 1710 University Avenue, Madison, WI 53705). Dicho programa informático puede hacer coincidir secuencias similares al asignar grados de homología a diversas sustituciones, supresiones y otras modificaciones. También se pueden alinear múltiples secuencias utilizando el programa Clustal W(1.4) (producido por Julie D. Thompson y Toby Gibson del European Molecular Biology Laboratory, Alemania y el Desmond Higgins of European Bioinformatics Institute, Cambridge, RU) configurado en el modo de alineación en pares «lento» y con la inclusión en los parámetros de alineación en pares de una penalización por espacio abierto de 10,0 y una penalización por espacio de extensión de 0,1, con una configuración de matriz de similitud «blosum». Además, los parámetros de alineación múltiple pueden incluir una penalización por espacio abierto de 10,0, una penalización por espacio de extensión de 0,1, así como una configuración de matriz de similitud «blosum», el divergente de retardo en 40 % y la distancia del espacio en 8.
- Una «sustitución de aminoácidos conservadora», tal como se usa en la presente, significa un reemplazo en una secuencia de aminoácidos de un aminoácido por otro dentro de una familia de aminoácidos que están relacionados por la naturaleza química de sus cadenas laterales.
 - Los aminoácidos codificados genéticamente se pueden dividir en cuatro familias: ácidos (aspartato, glutamato); básicos (lisina, arginina, histidina); no polares (alanina, valina, leucina, isoleucina, prolina, fenilalanina, metionina, triptófano); y polares no cargados (glicina, asparagina, glutamina, cisteína, serina, treonina, tirosina). Algunas veces, la fenilalanina, el triptófano y la tirosina se agrupan como aminoácidos aromáticos. De forma similar, los aminoácidos también se pueden separar en los siguientes grupos: ácidos (aspartato, glutamato); básicos (lisina, arginina, histidina); alifáticos (glicina, alanina, valina, leucina, isoleucina, serina, treonina), con la agrupación opcional de serina y treonina por separado como alifáticos-hidroxilo; aromáticos (fenilalanina, tirosina, triptófano); amida (asparagina, glutamina); y que contienen azufre (cisteína, metionina).
- 35 Se puede determinar si un cambio en la secuencia de aminoácidos resulta en un homólogo funcional evaluando la capacidad del péptido variante para funcionar de forma similar a la proteína natural mediante métodos estándares tales como los ensayos descritos en la presente.
 - Las realizaciones deseables de la invención incluyen al menos una sustitución de aminoácidos conservadora en la secuencia de aminoácidos de SEQ ID N.º: 2; y de forma más deseable 1, 2, 3, 4, 5, 6, 7, 8, 9 o 10 sustituciones de aminoácidos conservadoras en la secuencia de SEQ ID N.º: 2.
 - Un «aminoácido flanqueador» significa un aminoácido en una secuencia polipeptídica que está inmediatamente adyacente al extremo N o C de una secuencia definida específica. De forma deseable, un aminoácido flanqueador está presente en el extremo N y/o C de la secuencia de aminoácidos de SEQ ID N.º: 2 y de forma más deseable 1, 2, 3, 4, 5, 6, 7, 8, 9 o 10 aminoácidos flanqueadores están presentes en el extremo N y/o C de la secuencia de aminoácidos de SEQ ID N.º: 2.
 - Tal como se usa en la presente «proteína de fusión» hace referencia a un polipéptido que consiste en (1) el fragmento de HYR1; y (2) un compañero de fusión.
 - Tal como se usa en la presente «compañero de fusión» hace referencia a una secuencia heteróloga que puede fusionarse con el fragmento de HYR1. Los ejemplos de compañeros de fusión se describen en la presente e incluyen marcadores de detección, dominios estabilizadores o secuencias que auxilian en la producción o purificación de la proteína.

Tal como se usa en la presente, «respuesta inmunitaria» hace referencia a la activación de un sistema inmunitario del organismo en respuesta a un antígeno o agente infeccioso. En los vertebrados, la misma puede incluir, pero no se limita a, uno o más de los siguientes: maduración de linfocitos B indiferenciados en linfocitos B de memoria;

producción de anticuerpos mediante células plasmáticas (linfocitos B efectores); inducción de la inmunidad mediada por células; activación y liberación de citocina por parte de los linfocitos T CD4⁺; activación y liberación de citocina por parte de los linfocitos T CD8⁺; reclutamiento de citocina y activación de fagocitos (por ejemplo, macrófagos, neutrófilos, eosinófilos); y/o activación del complemento.

5 «Inmunógeno» significa cualquier sustancia que es capaz de inducir una respuesta inmunitaria en un sujeto.

«Sal farmacéuticamente aceptable» significa cualquier sal de adición de ácido o complejo metálico no tóxico que se utiliza en la industria farmacéutica. Los ejemplos de sales de adición de ácido incluyen ácidos orgánicos tales como ácido acético, láctico, pamoico, maleico, cítrico, málico, ascórbico, succínico, benzoico, palmítico, subérico, salicílico, tartárico, metanosulfónico, toluenosulfónico o trifluoroacético o similares; ácidos poliméricos tales como ácido tánnico, carboximetilcelulosa o similares; y ácidos inorgánicos tales como ácido clorhídrico, ácido bromhídrico, ácido sulfúrico, ácido fosfórico o similares. Los complejos metálicos incluyen cinc, hierro y similares.

«Vehículo farmacéuticamente aceptable» significa cualquier disolución utilizada para solubilizar y administrar un agente a un sujeto. Un vehículo farmacéuticamente aceptable deseable es solución salina. En realizaciones deseables, un vehículo farmacéuticamente aceptable incluye un adyuvante. En la presente se describen adyuvantes de ejemplo. Otros vehículos farmacéuticamente aceptables y sus formulaciones son conocidos para un experto en la técnica y se describen, por ejemplo, en Remington's Pharmaceutical Sciences, (20ª edición), ed. A. Gennaro, 2003, Lippincott Williams & Wilkins.

«Aislado» significa una proteína (o un fragmento de la misma) que se ha separado de los componentes que la acompañan naturalmente. Típicamente, el polipéptido está sustancialmente «aislado» cuando está al menos 60 %, en peso, libre de las proteínas y otras moléculas orgánicas de origen natural con las cuales se asocia naturalmente. La definición también se extiende a un polipéptido separado de sus aminoácidos flanqueadores (por ejemplo, para una secuencia de aminoácidos, aislada hace referencia a una secuencia que está libre de los aminoácidos flanqueadores con los cuales se asocia naturalmente la secuencia en un polipéptido). Preferentemente, el polipéptido está al menos 75 %, más preferentemente al menos 90 % y más preferentemente al menos 99 %, en peso, aislado. Se puede obtener un polipéptido aislado mediante técnicas convencionales, por ejemplo, mediante extracción de una fuente natural (por ejemplo, purificación a partir de una célula infectada con *Candida*); mediante la expresión de un ácido nucleico recombinante que codifica para un fragmento de HYR1; o mediante una proteína de fusión del mismo, sintetizando químicamente el polipéptido. El grado de pureza se puede medir mediante cualquier método adecuado, por ejemplo, cromatografía en columna, electroforesis en gel de poliacrilamida o análisis HPLC.

Una «cantidad terapéuticamente eficaz» significa una cantidad de un compuesto inmunógeno (por ejemplo, polipéptido, fragmento, proteína de fusión o vacuna) necesaria para generar en un sujeto uno o más de los siguientes efectos: una respuesta inmunitaria; una disminución en el nivel de infección por *Candida* (por ejemplo, una reducción de al menos 5 %, 10 %, 20 % o 30 %; de forma más deseable 40 %, 50 %, 60 % o 70 %; y de forma más deseable 80 % o 90 %); una disminución (por ejemplo, al menos una reducción de 10 %, 20 %, 30 %, 40 %, 50 %, 60 %, 70 %, 80 %, 90 % o incluso del 100 %) en uno o más síntomas de la infección por *Candida* en un paciente; o resistencia aumentada a una nueva infección por *Candida* (por ejemplo, un aumento de al menos 5 %, 10 %, 20 %, 30 %, 40 % o 50 %; de forma más deseable 60 %, 70 %, 80 % o 90 %; o de forma más deseable 100 %, 200 % o 300 %)

Otras características y ventajas de la invención serán evidentes a partir de la siguiente Descripción detallada, los dibujos y las reivindicaciones.

Breve descripción de los dibujos

10

15

20

25

40

45

50

55

Figura 1. Expresión condicional de *HYR1* potenciada por destrucción de *C. albicans.* mediada por neutrófilos y macrófagos. (A) Confirmación de la sobreexpresión/supresión condicional de *HYR1* de la cepa CAAH-31. Resultados de RT-PCR de *HYR1* que demuestran la sobreexpresión del gen en el medio -DOX y la ausencia de expresión en el medio +DOX. El fragmento de *EFB1* se coamplificó y sirvió como testigo. La ausencia de contaminación por ADN genómico en las preparaciones de ADNc se demostró por la ausencia de la banda de 919 bp que contenía el intrón de *EFB1*. THE31 fue la cepa testigo natural. (B) Se cultivaron cepas de *C. albicans* en YPD con DOX (supresión de *HYR1*) y sin DOX (sobreexpresión de *HYR1*) a 30°C durante toda la noche y luego se cocultivaron con neutrófilos humanos; (C) *C. albicans* cocultivado con neutrófilos derivados de HL-60; (D) con macrófagos derivados de HL-60.

Figura 2. La expresión de HYR1 de *Candida albicans* aumentó la resistencia a la destrucción por neutrófilos humanos en el mutante completo *bcr1* o la cepa C. *glabrata*. (A y B) La expresión autónoma de *HYR1* en una cepa deficiente *bcr1* de C. *albicans* complementó completamente la hipersusceptibilidad de la cepa genitora a la resistencia a la destrucción por neutrófilos. Las cepas de *C. albicans* DAY 185 (natural), CJN702 (mutante completo *bcr1*) y CJN698 (*BCR1* complementada) CJN114, CJN1153, CJN1222, CJN1259, CJN1276, CJN1281 y CJN1288 (que expresan autónomamente *ALS1*, *ALS3*, *HWP1*, *HYR1*, *RBT5*, *CHT2* y *ECE1* en un fondo de mutante completo

bcr1, respectivamente) se cultivaron en YPD durante toda la noche a 30 °C. Los datos se muestran como la mediana ± intercuartil. * *P*<0,04 con respecto a la cepa natural y complementada con *BCR1*. (C) La expresión heteróloga del gen *HYR1* de *C. albicans* aumentó la resistencia de C. *glabrata* a la destrucción mediada por neutrófilos derivados de HL-60. * *P*<0,0001.

Figura 3. Detección de la expresión de HYR1 durante la candidiasis diseminada aunque su expresión se inhibió inicialmente mediante neutrófilos in vitro. (A) Se cosecharon riñones, hígados, pulmones, bazos y cerebros 6 o 24 h después de la infección intravenosa con C. albicans. Se utilizó RT-PCR anidada para detectar la expresión de HYR1. Se utilizaron EFB1 de C. albicansy G3PDH del gen doméstico de ratón como testigo. + denota ratones infectados, mientras que - denota ratones no infectados. (B) Neutrófilos derivados de HL-60 inhibieron la expresión de HYR1 de C. albicans. Se cultivó C. albicans natural en RPMI 1640 más suero humano concentrado al 10 %. Sin neutrófilos, la expresión de HYR1 se detectó media hora después de la inducción. Con neutrófilos, la expresión de HYR1 se inhibió dos horas.

Figura 4. Expresión de *HYR1 in vivo* y su efecto sobre la carga fúngica. Para detectar la expresión de *HYR1* durante la candidiasis diseminada, se cosecharon riñones, hígados, pulmones, bazos y cerebros 6 o 24 h después de la infección intravenosa con *C. albicans*. Se utilizó RT-PCR anidada para detectar la expresión de *HYR1*. Se utilizaron EFB1 de *C. albicans*y G3PDH del gen doméstico de ratón como testigo. + denota ratones infectados, mientras que denota ratones no infectados (A). La expresión condicional de *HYR1* aumentó la carga fúngica en órganos con abundantes fagocitos tisulares. Carga de *C. albicans* en hígados y bazos de ratones inmunocompetentes (n=8 por grupo) infectados con *HYR1* de *C. albicans* o cepa testigo cultivados en condiciones de expresión (-DOX) o supresión (+DOX) condicional (A) y la expresión de *HYR1 in vivo* (B). Los hígados y bazos se cosecharon un día después de la infección. Los ejes y reflejan los límites inferiores de detección del ensayo. Los datos se muestran como la mediana ± intercuartil. * *P*<0,0001 con respecto a ausencia de expresión de la cepa *HYR1* (HYR1-DOX) o la cepa testigo.

Figura 5. Inmunofluorescencia indirecta con suero anti-Hyr1p demuestra la expresión superficial de Hyr1p en hifas de *C. albicans*. La formación hifal se indujo al incubar *C. albicans* en RPMI 1640 durante 90 min. Las células se tiñeron con el suero anti-Hyr1p preabsorbido de mutante completo *hyr1* (1:100) o la preparación antiproteína del suero del clon plasmídico vacío (testigo negativo) y posteriormente se tiñeron con Ab antiratón etiquetado con Alexa.

Figura 6. Extremo N recombinante de Hyr1p (rHyr1p-N) protegido de forma notable contra candidiasis diseminada hematógenamente murina. (A) Supervivencia de ratones (8 ratones por grupo) vacunados con rHyr1p-N mezclado con adyuvante completo o incompleto de Freund e infectados a través de la vena de la cola con 2,2 x 10⁵ blastoporos de SC5314 de *Candida albicans*. (B) Supervivencia de ratones (8 ratones por grupo, excepto el grupo testigo, que tenía 17 ratones) vacunados con rHyr1p-N o rHyr1p-N destoxificado mezclado con alhidrogel al 0,1 % e infectados con 7 x 10⁵ blastoporos de 15563 de *Candida albicans*. *p = 0,001 mediante prueba de rango logarítmico. (C) Efecto de F(ab)'₂ vacunado o testigo en el bloqueo de la destrucción por neutrófilos de ratón de Hyr1 de *C. albicans* expresado o suprimidos condicionalmente. El testigo denota el ensayo llevado a cabo en ausencia de F(ab)'₂. Los datos se muestran como la mediana ± rango intercuartil. *P = 0,001 mediante prueba de Mann-Whitney.

Descripción detallada

15

20

25

30

35

40

45

Candida albicans es un patógeno común en humanos. Por ejemplo, *C. albicans*, aunque normalmente es un comensal inofensivo, puede provocar una variedad de afecciones que varían de una infección mucocutánea superficial tal como candidiasis vaginal y/o orofaríngea, hasta una implicación de órganos internos en la candidiasis diseminada. Antes de provocar la enfermedad, el hongo coloniza el tracto gastrointestinal y, en algunos casos, la piel y las membranas mucosas. La adherencia a las superficies de la mucosa del hospedador es un prerrequisito clave para esta etapa inicial. Luego de la colonización, *C. albicans* ingresa al torrente sanguíneo a través de dispositivos intravasculares infectados o mediante transmigración a través de la mucosa gastrointestinal comprometida por la quimioterapia o ulceraciones por estrés. A continuación los organismos se diseminan a través del torrente sanguíneo, se unen o penetran el endotelio vascular para salir del árbol vascular e invadir los órganos internos tales como el hígado, bazo y riñón.

La identificación y caracterización funcional de un fragmento de la proteína de HYR1 completa descrita en la presente permite que este polipéptido se utilice de forma eficaz en el tratamiento de la candidiasis.

La naturaleza de la patogénesis de *C. albicans* por medio de la adherencia a células endoteliales se comenta en la patente estadounidense No. 5.578.309. Para obtener una descripción de un gen de HYR1 y las características del mismo, incluida la caracterización del producto génico véase, Bailey et al. (Journal of Bacteriology 178:5353-5360, 1996).

La invención proporciona una vacuna que tiene el fragmento de HYR1 aislado y opcionalmente un adyuvante en un medio farmacéuticamente aceptable. La vacuna puede ser un fragmento de HYR1 derivado de una especie de Candida tal como Candida albicans, Candida krusei, Candida tropicalis, Candida glabrata o Candida parapsilosis.

La invención utiliza el producto génico de la secuencia de HYR1 de C. *albicans* como una vacuna para tratar, prevenir o aliviar la candidiasis diseminada. La vacuna es eficaz contra diferentes cepas de *C. albicans* así como contra diferentes especies de *Candida*.

Por lo tanto, según un aspecto, la invención proporciona el fragmento de HYR1 que es útil cuando se formula en una composición farmacéutica y se administra como una vacuna con o sin un adyuvante. El fragmento de HYR1 puede originarse de *Candida* y puede obtenerse, por ejemplo, de especies que pertenecen a géneros *Candida*, por ejemplo *Candida parapsilosis*, *Candida krusei*, *Candida glabrata* y *Candida tropicalis*. El fragmento de HYR1 se puede obtener en forma aislada o purificada y, por lo tanto, según una realización de la invención el fragmento de HYR1 se formula como una vacuna para provocar una respuesta inmunitaria en un paciente para desencadenar una respuesta inmunitaria contra *Candida*.

La invención proporciona además un método para tratar o prevenir la candidiasis diseminada. El método incluye la administración de una cantidad inmunógena de una vacuna del fragmento de HYR1. La vacuna pueden administrarse con o sin un adyuvante. El fragmento de HYR1 se puede derivar de diferentes cepas de *Candida* así como de diferentes especies de *Candida* tales como *Candida* albicans, *Candida krusei, Candida tropicalis, Candida glabrata* y *Candida parapsilosis*.

La eficacia de las vacunas de la invención contra diferentes cepas de *Candida*, diferentes especies de *Candida*, otras bacterias y agentes infecciosos y su amplio rango de actividad inmunitaria se evalúan de acuerdo con métodos estándares tales como los que se describen adicionalmente más adelante.

Dadas las enseñanzas y guías que se proporcionan en la presente, los expertos en la técnica entenderán que se pueden emplear métodos inmunoterapéuticos conocidos en la técnica con los fragmentos de HYR1 en una composición farmacéuticamente aceptable administrada como una vacuna con o sin un adyuvante. A los efectos de la presente invención, los términos «farmacéutico/a» o «farmacéuticamente aceptable» hacen referencia a composiciones formuladas mediante técnicas conocidas para que sean no tóxicas y, cuando se desea, se utilizan como vehículos o aditivos que pueden administrarse de forma segura a humanos. La administración se puede llevar a cabo utilizando vías conocidas incluidas, por ejemplo, inyección intravenosa, intramuscular, intraperitoneal o subcutánea. Dichas vacunas de las invenciones también pueden utilizarse como tampones, sales u otros disolventes conocidos para estos expertos en la técnica para conservar la actividad de la vacuna en disolución. De forma similar, cualquier de una amplia gama de adyuvantes conocidos en la técnica se puede emplear con la vacuna de la invención para desencadenar, promover o potenciar una respuesta inmunitaria terapéuticamente eficaz capaz de reducir o bloquear la unión, invasión y/o infección de *Candida* en una célula hospedadora susceptible.

Se entenderá que modificaciones que no afectan sustancialmente la actividad de diversas realizaciones de la presente invención están también incluidas dentro de la definición de la invención proporcionada en la presente. Por consiguiente, los siguientes ejemplos pretenden ilustrar la invención, pero no limitar, la presente invención.

Ejemplo I

40

45

50

55

5

10

15

35 Hyr1p de Candida albicans confiere resistencia a la destrucción por neutrófilos y es un objetivo para vacuna

Tal y como se comenta anteriormente, *Candida albicans* es la causa más común de infecciones fúngicas invasivas en humanos. No está claro cómo *C. albicans* escapa al ataque fagocítico y sobrevive al ambiente hostil sanguíneo durante infecciones sistémicas que representan un peligro de muerte. Mediante el uso de una estrategia genética de sobreexpresión/supresión, descubrimos que el gen de *HYR1* reducía la destrucción fagocítica de *C. albicans in vitro* y aumentaba la carga fúngica tisular *in vivo*. De forma coincidente con su regulación positiva mediante el factor de transcripción Bcr1p, *HYR1* complementó la hipersusceptibilidad a la destrucción mediada por fagocitos de un mutante completo *bcr1* de *C. albicans in vitro*. Además, la expresión heteróloga de *HYR1* en *Candida glabrata* volvió al organismo más resistente a la destrucción por neutrófilos. Finalmente, la vacunación con Hyr1p recombinante protegió de forma significativa a ratones contra la candidiasis diseminada de forma hematógena. Por lo tanto, Hyr1 es un factor de virulencia importante para *C. albicans*, que media la resistencia a la destrucción por fagocitos. Por consiguiente, Hyr1p es un objetivo para la vacuna u otra intervención por molécula inmunológica o pequeña para mejorar los resultados de la candidiasis diseminada.

Resultados

La expresión condicional de HYR1 en blastoporos potenció significativamente la resistencia de *C. albicans* a la destrucción mediada por fagocitos in vitro

Para estudiar la función de *HYR1*, construimos una cepa de sobreexpresión/supresión condicional de *C. albicans*, CAAH-31. En CAAH-31, una alelo de *HYR1* se controló mediante un promotor regulado por tetraciclina (TR) y el otro alelo se alteró. Mediante RT-PCR semicuantitativa, confirmamos que *HYR1* se expresaba de forma abundante cuando los blastoporos de CAAH-31 se cultivaban en medios sin DOX, y no se detectó en presencia de DOX (Fig. 1A). Tal como se esperaba, *HYR1* no se detectó en blastoporos naturales (THE31) debido a que *HYR1* es un gen

coexpresado hifal (Fig. 1A).

5

20

25

30

35

40

45

La cepa de sobreexpresión condicional de HYR1, CAAH-31, y el testigo natural THE31 tuvieron tasas de crecimiento idénticas, independientemente de la presencia o ausencia de DOX (tiempo duplicado para la cepa testigo natural sin DOX= 1,51 \pm 0,29 hr y con DOX= 1,51 \pm 0,38 hr; tiempo duplicado para la cepa CAAH-31 sin DOX= 1,39 \pm 0,30 hr y con DOX= 1,35 \pm 0,19 hr). También evaluamos el impacto de la sobreexpresión de HYR1 sobre la acumulación normal de otras proteínas ancladas por GPI en la superficie celular. Mediante inmunofluorescencia directa, confirmamos que la sobreexpresión de HYR1 no tuvo un impacto directo sobre la acumulación de la proteína anclada por GPI Als1p (no se muestran los datos) [8].

Durante un barrido de rutina para fenotipos asociados con la virulencia, determinamos el impacto de la sobreexpresión condicional de *HYR1* en la destrucción de *Candida* mediante fagocitos humanos. *C. albicans* que expresaba *HYR1*(CAAH-31 -DOX) fue significativamente más resistente a la destrucción mediada por neutrófilos humanos que *C. albicans* natural (que no expresa *HYR1* en la fase de blastoporo) y que *C. albicans* con *HYR1* suprimido (CAAH-31 +DOX) (Fig. 1B). Este fenotipo no se debió a DOX, dado que la destrucción no fue significativamente diferente entre el testigo natural y *C. albicans* con *HYR1* suprimido (+DOX).

También llevamos a cabo ensayos de destrucción de *Candida* utilizando la línea celular HL-60, que se puede diferenciar en neutrófilos o macrófagos [9, 10]. Al igual que con neutrófilos humanos recientemente cosechados, la sobreexpresión condicional de *HYR1* redujo la destrucción de los blastoporos de *C. albicans* por neutrófilos (Fig.1C) y macrófagos (Fig. 1D) de HL-60 *in vitro*.

Hipersusceptibilidad a la destrucción por neutrófilos del mutante completo *bcr1* de *C. albicans* se complementó mediante la expresión de HYR1 in vitro

Dado que *HYR1* es un gen posterior del regulador de transcripción positivo Bcr1p [17], elaboramos la hipótesis de que la alteración de *bcr1* exacerbaría la susceptibilidad a la destrucción por neutrófilos en condiciones que promueven que *C. albicans* natural exprese *HYR1* (es decir, durante la formación hifal). Por lo tanto, inducimos la formación de tubos germinales en *C. albicans* al incubar las células en RPMI con FBS al 10 % a 37°C durante 40 min. Se sabe que esta condición induce la expresión de *HYR1* [18], y resultó en tubos germinales suficientemente cortos para que no se formaran hifas extensas, posibilitando así la cuantificación de las unidades formadoras de colonias (UFC) en nuestro ensayo de destrucción. Comparamos la destrucción por neutrófilos de la cepa mutante completo *bcr1* (CJN702), una cepa complementada con *BCR1* en el fondo de mutante completo *bcr1* (CJN698) y una cepa de *C. albicans* natural (DAY185). El mutante completo *bcr1* fue hipersusceptible a la destrucción mediada por neutrófilos en comparación con las cepas complementada con *BCR1* y natural (Fig. 2A). Además, la hipersusceptibilidad a la destrucción de *C. albicans* carente de *bcr1* se complementó de forma completa mediante la expresión autónoma de *HYR1* en el fondo del mutante *bcr1*, pero no mediante otros genes codificantes de superficie celular regulados por Bcr1p [17] (Fig. 2A y 2B).

La resistencia de *C. albicans* que sobreexpresa HYR1 a la destrucción por fagocitos puede recapitularse mediante expresión heteróloga de HYR1 en *C. glabrata*

Para definir adicionalmente el fenotipo de virulencia mediado por *HYR1*, expresamos el gen de forma heteróloga en *C. glabrata* BG14 [19] utilizando un plásmido pGRB2.2 portador de un promotor *PGK1* constitutivo [11]. También generamos un BG14 de *C. glabrata* transformado con el plásmido vacío, como testigo negativo. La expresión de *HYR1* en *C. glabrata* resultó en una reducción del 75 % en la destrucción por neutrófilos derivados de HL-60 *in vitro*, en comparación con *C. glabrata* transformado con un plásmido vacío (Fig. 2C).

Los neutrófilos inhiben la expresión de HYR1 en Candida

Dado que la sobreexpresión condicional de *HYR1* confirió a *Candida* resistencia a la destrucción mediada por neutrófilos, utilizamos RT-PCR para estudiar la expresión de *HYR1* en C. *albicans* natural (SC5314) en respuesta a neutrófilos derivados de HL-60 *in vitro*. *HYR1* se expresó rápidamente 30 min después de la exposición a media que contenía suero y la expresión se mantuvo alta durante 2,5 hr durante el cultivo (Fig. 3A). Sin embargo, cuando *C. albicans* se expuso a neutrófilos derivados de HL-60 en cultivo, incluso en la presencia de suero, la expresión de *HYR1* se inhibió hasta 2 hr en el cocultivo (Fig. 3A).

C. albicans natural expresa HYR1 durante la candidiasis diseminada de forma hematógena, lo que resultado en una carga fúngica tisular aumentada en órganos ricos en fagocitos

Para determinar si *HYR1* se expresaba durante la candidiasis diseminada de forma hematógeno, se cosecharon cinco órganos principales, cerebro, hígado, pulmón, bazo y riñón, de ratones infectados con la cepa de *C. albicans* natural después de 6 y 24 hr de infección. Se utilizó un ensayo RT-PCR anidado mejorado [20] para evaluar la expresión de *HYR1* in vivo. La expresión de *HYR1* se detectó en los cinco órganos (Fig. 3B).

La sobreexpresión de HYR1 aumentó y la supresión de HYR1 disminuyó la carga fúngica en el hígado y el bazo

(Fig. 4A). Además, confirmamos que la cepa sobreexpresada tenía niveles significativamente más altos de *HYR1* que la cepa natural en hígados; la cepa suprimida demostró una tendencia a niveles reducidos (Fig. 4B). En cambio, la expresión de *HYR1* no alteró de forma significativa la carga fúngica en el riñón (no se muestran los datos), un órgano que carece de fagocitos residentes.

5 rHyr1p-N como candidato para vacuna

En función del análisis secuencial, se prevé que Hyr1p es una proteína de superficie celular [7]. Para confirmarlo, generamos un Hyr1p de extremo N recombinante en *E. coli* transformado con un clon de expresión que incluye los aminoácidos 25-350 de la secuencia codificante (rHyr1p-N). Se preabsorbió suero de ratones inmunizados con rHyr1p-N contra el mutante completo *hyr1* de *C. albicans* [7], posteriormente se procedió a la inmuno-tinción en hifas naturales. Hallamos que la pared celular de las hifas de *C. albicans* naturales presentaban tinción abundante (Fig. 5), lo que confirma que se expresa en la superficie celular y, por consiguiente, está expuesto al sistema inmunitario.

Dado que Hyr1p es como una proteína de superficie celular, que confiere resistencia a la destrucción de *Candida* por fagocitos, buscamos determinar su potencial como candidato para vacuna. Los ratones se vacunaron con rHyr1p-N más adyuvante o adyuvante solo. Dos semanas después del refuerzo, los ratones se infectaron a través de la vena de cola con SC5314 de *C. albicans* altamente virulenta. La vacunación con rHyr1p-N mejoró de forma marcada la supervivencia de ratones en comparación con aquellos vacunados solo con adyuvante (62,5 y 0 % de supervivencia a los 35 días, respectivamente) (Fig. 6A).

La vacunación con rHyr1p-N mezclado con adyuvante completo o incompleto de Freund o alumbre mejoró la supervivencia de ratones en comparación con aquellos vacunados con adyuvante solo (Figura 6A y 6B).

Destrucción por neutrófilos mejorada por suero anti-rHyr1p en ratones mediante inhibición directa de la función de resistencia a neutrófilos de Hyr1p.

El efecto protector de la vacuna rHyr1p-N sugirió que el suero anti-rHyr1p podría ser capaz de neutralizar la función protectora de Hyr1p en *C. albicans*. Para determinar si los anticuerpos anti-rHyr1p podrían inhibir directamente la función de Hyr1p, aislamos y preparamos fragmentos F(ab)'₂ de la IgG total de ratones inmunizados con rHyr1p-N o el testigo (preparación producida a partir de células de *E. coli* transformadas con el plásmido vacío). Hallamos que F(ab)'₂ del suero inmune pero no del testigo, fue capaz de restaurar la destrucción por neutrófilos de la cepa de expresión condicional *HYR1* hasta niveles equivalentes a los de la cepa de supresión (Figura 6C).

Compendio

10

15

25

40

55

En este estudio, demostramos que *HYR1*, un gen coexpresado hifal [7, 21], codifica para un factor de resistencia a fagocitos en *Candida*. La expresión condicional de *HYR1* en blastoporos de *Candida* provocó que el hongo fuese más resistente a la destrucción por fagocitos en comparación con los blastoporos de *C. albicans* natural. Además, la función de *HYR1* en *C. albicans* se recapituló al expresar de forma heteróloga el gen en *C. glabrata in vitro*. También hallamos que una cepa que carece de Bcr1p, un factor de transcripción que regula positivamente la expresión de *HYR1* [17], exhibía susceptibilidad mejorada a la destrucción mediada por fagocitos. La hipersusceptibilidad a la destrucción por fagocitos del mutante completo *bcr1* se complementó totalmente mediante *HYR1* expresado autónoamamente, pero no por otros genes que codifican para proteínas de GPI reguladas positivamente por Bcr1p. Por lo tanto, *HYR1* es un gen posterior de *BCR1* en una vía de resistencia a la destrucción por fagocitos.

Es interesante que los neutrófilos derivados de HL-60 fueron capaces de inhibir la expresión de *HYR1* en *C. albicans* natural durante el contacto inicial entre los fagocitos y *Candida*. Por consiguiente, se produjo una interacción dinámica entre los fagocitos hospedadores y *C. albicans*, en la que los fagocitos mediaron una retardo en la expresión de un gen de resistencia a fagocitos en el hongo natural. Esto coincide con una hallazgo previo de que los neutrófilos humanos retardaron la formación de hifas de *C. albicans* y la expresión de los genes coexpresados de hifas [18].

La resistencia a la destrucción por fagocitos es un fenotipo complejo, probablemente atribuible a múltiples factores.

Los fagocitos pueden destruir a *Candida* de forma extracelular o intracelular. Recientemente, se caracterizaron las dismutasas de superóxido de superficie celular de *C. albicans* como factores de virulencia que ayudan a los hongos a escapar de la destrucción al degradar especies de oxígeno altamente reactivas derivadas del hospedador [22]. Los neutrófilos típicamente se acoplan y expanden por las superficies de las formas hifales de los hongos, dados que las hifas extendidas son demasiado grandes para que los fagocitos las ingieran completamente. Dado que *C. albicans* expresa *HYR1* en la forma hifal, es posible que Hyr1p contribuya a la resistencia a la destrucción por fagocitos al evitar el contacto superficial con el fagocito. Alternativamente, Hyr1p podría interferir con mecanismos de destrucción oxidativos o no oxidativos de los fagocitos.

El fenotipo *in vitro* de la sobreexpresión de *HYR1* se recapituló *in vivo*. Durante la infección diseminada murina, la sobreexpresión de *HYR1* condujo a un aumento significativo, y la supresión de *HYR1* conjunto a una disminución significativa, en la carga fúngica tisular en comparación con la cepa natural en órganos con fagocitos residentes. La

falta de fenotipo en el riñón refleja probablemente el hecho de que los riñones no tienen fagocitos residentes y que el influjo de neutrófilos hacia dentro de los riñones durante la candidiasis diseminada mortal solo comienza > 24 hr de la infección [15]. Sin embargo, la vacuna con rHyr1p-N resultó en una protección considerable contra la candidiasis diseminada de forma hematógena. La eficacia observada para la vacuna de rHyr1p-N fue mayor que la observada previamente en ratones vacunados con las vacunas rAls1p-N y rAls3p-N. Por lo tanto, rHyr1p-N es una vacuna candidata prometedora para la candidiasis diseminada.

Nuestros datos también demuestran la ventaja de utilizar un abordaje de sobreexpresión/supresión condicional para explorar las potenciales funciones de virulencia de un gen dado. Los abordajes genéticos directos a gran escala para explorar los genes de virulencia *in vitro* requieren ensayos de barrido funcionales y se limitan a barridos de genes que se expresan mientras se lleva a cabo el ensayo. Cuando un gen no se expresa significativamente en la cepa natural en condiciones utilizadas para el ensayo de barrido *in vitro*, la sobreexpresión forzada permite aún así la detección de un fenómeno de adquisición de función en el ensayo, tal como es el caso de *HYR1* durante el crecimiento de los blastoporos de *Candida*. Cuando un gen se expresa intensamente, la supresión condicional del gen proporciona un fenotipo de pérdida de función en el mismo ensayo. Además, cuando la sobreexpresión y la supresión se utilizan simultáneamente, el fenotipo puede amplificarse, tal como es el caso del efecto de *HYR1* en las cargas fúngicas en hígado y bazo *in vivo*. La capacidad para detectar un fenotipo al comparar la sobreexpresión y supresión de un gen posibilita que la expresión del gen condicional supere las limitaciones de la redundancia funcional, que abunda particularmente en los abordajes genéticos directos cuando se están estudiando miembros de una familia de genes.

20 En resumen, utilizamos un abordaje de expresión génica condicional para identificar a Hyr1p como un factor de virulencia expresado en la superficie para *C. albicans*. La expresión de *HYR1* medió la resistencia a la destrucción por neutrófilos *in vitro* y aumentó la carga fúngica tisular *in vivo*. Finalmente, demostramos que *HYR1* es un objetivo de vacuna prometedor que debe desarrollarse adicionalmente como una estrategia profiláctica para la candidiasis diseminada.

25 Materiales y métodos

5

10

15

40

Los Resultados descritos anteriormente se obtuvieron utilizando los siguientes materiales y métodos.

Cepas y condiciones de cultivo

Todas las cepas utilizadas se indican en la Tabla 1 y se cultivaron tal como se describió anteriormente [8].

Construcción del mutante de sobreexpresión/supresión condicional de HYR1

Para generar una cepa de expresión de *HYR1* condicional, se insertó un casete promotor *HIS1-TR* [8] frente a un alelo del gen de *HYR1* de la cepa THE4, produciendo la cepa CAAH. El *URA3* en el locus *HIS1* en la cepa CAAH se puso en forma de bucle, generando CAAH-1. El segundo alelo de *HYR1* en CAAH-1 se alteró mediante un casete *URA3* reciclable, generando la cepa CAAH-2, posteriormente se puso en forma de bucle *URA3* para proporcionar la cepa CAAH-3. Se insertó un fragmento de 3,9 kb *Nhe I-Pst I* que contenía el gen *URA3-IRO1* en su locus original en el genoma de CAAH-3, proporcionado CAAH-31. Los cebadores utilizados se indican en la Tabla 1.

RT-PCR semicuantitativa

La RT-PCR semicuantitativa para detectar la expresión génica *in vitro* se describió anteriormente. Los cebadores utilizados para detectar la expresión de *EFB1* fueron EFB1a y EFB1b; los cebadores utilizados para amplificar *HYR1* fueron HYR1 específico 1 y HYR1 específico 2 (Tabla 1). Para estudiar el impacto de los neutrófilos en la expresión de *HYR1* de *C. albicans*, se cocultivaron durante toda la noche 1 x 10⁶ células de SC5314 cultivadas en YPD con 1 x 10⁷ neutrófilos derivados de HL-60 o se cultivaron solas en RPMI 1640 más suero humano concentrado al 10 %. Se tomaron muestras en intervalos de 30 min durante 3 hr hasta que se extrajo el ARN y se llevó a cabo la RT-PCR semicuantitativa.

Ensayos de destrucción por fagocitos

Se aislaron neutrófilos humanos, las células HL-60 de diferenciaron en neutrófilos o macrófagos y el ensayo de destrucción por fagocitos se llevó a cabo tal como se describió anteriormente [8-10]. Brevemente, se incubaron fagocitos con hongos durante 1 hr y luego se sometieron a ultrasonido y se cultivaron cuantitativamente. El porcentaje de destrucción se calculó al dividir la cantidad de colonias fúngicas tras la coincubación con fagocitos entre la cantidad de colonias fúngicas incubadas con medios sin fagocitos. Los neutrófilos humanos y los neutrófilos y macrófagos derivados de HL-60 se sometieron a prueba a una relación 2:1 y 20:1 fagocito:hongo, respectivamente. Para *bcr1* y mutantes relacionados, los blastoporos se pregerminaron durante 40 min en RPMI más FBS al 10 % a 37°C antes de llevar a cabo el ensayo.

Expresión heteróloga de HYR1 en BG14 de C. glabrata

BG14 de C. glabrata se transformó con un vector de expresión de HYR1 pGRB2.2-HYR1 o un plásmido testigo vacío pGRB2.2 [11]. La secuencia codificante de HYR1 se amplificó mediante CG-Hyrl-a y CG-Hyrl-b (Tabla 1) y se colonó en los sitios Xba I, Xho I de pGRB2.2 utilizando el In-Fusion TM 2.0 Dry-Down PCR Cloning Kit según las instrucciones del fabricante (Clontech Laboratories, Mountain View, CA).

5 Expresión de HYR1 de C. albicans durante la infección hematógena

La expresión de *HYR1* por SC5314 *C. albicans* natural se examinó durante la candidiasis diseminada hematógenamente tal como se describe. Se recogieron cerebros, hígados, pulmones, riñones y bazos de ratones BALB/C luego de 6 y 24 hr de la infección. Los cebadores utilizados se indican en la Tabla 1. La transcripción inversa se llevó a cabo con RETROscript (Ambion, Texas). Para la amplificación del gen doméstico *G3PDH* de ratón se utilizaron los cebadores *G3PDHF* y *G3PDHR*. Para la detección de *HYR1* y *EFB1* de *C. albicans*, se llevaron a cabo dos pasadas de PCR. En la pasada uno se utilizó el conjunto de cebadores externos (EFB1F y EFB1R para *EFB1*, o P2 y P5 para *HYR1*); en la pasada dos se utilizó una alícuota (1 µl) del producto de PCR la pasada uno como plantilla. El conjunto de cebadores internos fue el siguiente: EFB1nF y EFB1nR (para *EFB1*), o P2 y P4 (para *HYR1*). Todas las condiciones de PCR fueron las siguientes: desnaturalización a 95 °C, 2 min y amplificación durante 35 ciclos a 94 °C, 30 s (desnaturalización), 55 °C, 30 s (apareamiento) y 72 °C, 90 s (extensión). Para qRT-PCR el ADNc se preparó tal como se indicó anteriormente. Los ensayos de optimización de la eficacia de la amplificación y RT-PCR en tiempo real con verde SYBR se llevaron a cabo tal como se describe [12]. Se utilizó *ACT1* expresado constitutivamente como testigo para todas las reacciones. Los cálculos y análisis estadísticos se llevaron a cabo tal como se describe en ABI PRISM 7000 Sequence Detection System User Bulletin 2 (Applied Biosystems, EE. UU.).

Carga fúngica tisular

10

15

20

25

50

Se dio agua a los ratones con o sin DOX (2 mg/ml) disuelto en disolución de sacarosa al 5 % a lo largo de todo el período del experimento comenzando el día -3 con respecto a la infección [13] y se les dio alimentos y agua ad libitum. La carga fúngica tisular se llevó a cabo tal como se describió anteriormente [8] excepto que los órganos se retiraron 1 días después de la infección. Todos los procedimientos que se realizaron con ratones fueron aprobados por el comité de uso y cuidado animal institucional, siguiendo las directrices del NIH (siglas en inglés para Instituto nacional de salud).

Producción de rHyr1p-N

Se produjo rHyr1p-N (a partir de los aminoácidos 25-350 de Hyr1p) en un sistema de expresión pQE-32 de Escherichia coli (Qiagen) y la proteína etiquetada con 6XHis se purificó tal como se describe en otra parte de la presente [14], con la excepción del uso de una columna de afinidad con resina HisPur Cobalt (Thermo Scientific). Se extrajo la endotoxina de rHyr1p-N mediante el uso de Detoxi-Gel Endotoxin Removing Columns (Thermo Scientific) y se determinó el nivel de endotoxina con Limulus Amebocyte Lysate endochrome (Charles River) según las instrucciones del fabricante. Utilizando este procedimiento, la endotoxina se redujo hasta <0,28 EU por dosis utilizada para vacunación.

Detección de inmunofluorescencia de localización celular de Hyrlp

La inmunofluorescencia indirecta se llevó a cabo utilizando antisueros policionales antiHyr1p generados mediante inmunización de ratones con rHyr1p-N (de los aminoácidos 25-350). Se incubó un inóculo de 1 x 10⁷ blastoporos de la cepa completa *hyr1* en RPMI 1640 durante 90 min a 37 °C y se granularon dos veces para absorber el antisuero.

Se pregerminaron blastoporos de *C. albicans* (1x 10⁵) en RPMI 1640 durante 90 min a 37 °C y se transfirieron a un portaobjetos de cámara de 4 pocillos (Nalge Nunc International Corp, IL, EE.UU.). Tras la incubación a 4 °C durante 30 min, las células se bloquearon con 300 μl de 1,5 % de suero de cabra, se tiñeron con antisuero policlonal en una dilución de 1:100 o PBS como testigo negativo y luego con IgG antirratón de cabra etiquetado con isotiocianato a 1:200. Se obtuvieron imágenes de las células mediante microscopía con láser confocal de barrido [15].

45 Protocolo de inmunización

Todas las vacunas fueron subcutáneas, en la base del cuello. Se vacunó a ocho ratones C57BL/6 jóvenes (de 10 a 12 semanas) con 20 μg de rHyr1p-N purificado por afinidad en adyuvante completo de Freund y se reforzó en adyuvante incompleto de Freund (IFA) a las 3 semanas. Ocho ratones jóvenes adicionales recibieron adyuvante solo mezclado con la preparación producida a partir de células *E. coli* transformadas con el plásmido vacío. Catorce días después del refuerzo, los ratones se infectaron a través de la vena de cola con 5 x 10⁵ células SC5314 de *C. albicans* natural [16].

La eficacia de rHyr1p-N en la protección contra la candidiasis diseminada hematógenamente también se evaluó utilizando alumbre (2% Alhydrogel; Brenntag Biosector), un adyuvante aprobado por la Dirección de Fármacos y Alimentos (de los Estados Unidos) para uso en humanos. Además, para determinar que rHyr1p-N era protectora

contra otras cepas de *C. albicans*, utilizamos otro aislado clínico, la cepa 15563. Para estos experimentos, se mezclaron 33 µg de rHyr1p-N purificado por afinidad con alhidrogel al 0,1 % y se administraron a ratones BALB/c tal como se indicó anteriormente el día 0, se reforzaron el día 21 y luego se infectaron el día 35 con *C. albicans* a través de inyección en la vena de la cola. Para todos los experimentos de vacunación, la supervivencia de los ratones durante 35 días después de la infección se utilizó como punto final.

Ensayo de bloqueo de F(ab)'₂. Se recogió suero anti-Hyr1p concentrado o testigo de 5 ratones que se vacunaron con rHyr1p-N o con la preparación producida a partir de células *E. coli* transformadas con el plásmido vacío. La IgG total de ambos sueros se aisló utilizando Nab Spin Kit (Thermo Scientific). Los fragmentos F(ab)'₂ se purificaron con Pierce F(ab)'₂ Preparation Kit según las instrucciones del fabricante. Se opsonizaron células de *Candida* sobre hielo durante 45 min con suero del ratón normal al 5 % (Santa Cruz Biotechnology) o suero de ratón normal al 5 % más F(ab)'₂ al 5 % preparado a partir de IgG de ratones vacunados con rHyr1p-N o testigo antes de mezclaras con los neutrófilos de ratón. El ensayo de destrucción por neutrófilos de ratón se describió anteriormente.

Análisis estadístico

5

10

15

La destrucción mediada por fagocitos y las cargas fúngicas tisulares entre diferentes grupos se compararon mediante la prueba U de Mann-Whitney para comparaciones no apareada, según corresponda. Se utilizó la prueba de rango logarítmico no paramétrico para determinar las diferencias en los tiempos de supervivencia. Los valores P <0,05 se consideraron significativos.

Tabla 1 Cepas y oligonucleótidos utilizados en el presente estudio

Cepas							
Candida albicans	andida albicans Genotipo						
Cepas							
THE31	ade2::hisG/ade2::hisG	[8]					
	HIS1/his1::dpl200						
	ura3-iro1::imm434/ura3-iro1::imm434::URA3-IRO1						
	ENO1/NO1-tetR-ScHAP4AD-3XHA-ADE2						
CAAH	ade2::hisG/ade2::hisG	[8]					
	his1::URA3-dpl200/his1::dpl200						
	ura3-iro1::imm434/ ura3-iro1::imm434						
	ENO1/ENO1-tetR-ScHAP4AD-3XHA-ADE2						
	HYR1/HIS1-pTR-HYR1						
CAAH-1	ade2::hisG/ade2::hisG	Este estudio					
	his1::dpl200/his1::dpl200						
	ura3-iro1::imm434/ura3-iro1::imm434						
	ENO1/ENO1-tetR-ScHAP4AD-3XHA-ADE2						
	HYR1/HIS1-pTR-HYR1						

Cepas		
Candida albicans Cepas	Genotipo	Fuente
CAAH-2	ade2::hisG/ade2::hisG	Este estudio
	his1::dpl200/his1::dpl200	
	ura3-iro1::imm434/ura3-iro1::imm434	
	ENO1/ENO1-tetR-ScHAP4AD-3XHA-ADE2	
	hyr1::URA3-dpl200/HIS1-pTR-HYR1	
CAAH-3	ade2::hisG/ade2::hisG	Este estudio
	his1::dpl200/his1::dpl200	
	ura3-iro1::imm434/ura3-iro1::imm434	
	ENO1/EN01-tetR-ScHAP4AD-3XHA-ADE2	
	hyr1::dpl200/HIS1-pTR-HYR1	
CAAH-31	ade2::hisG/ade2::hisG	Este estudio
	his1::dpl200/hisl::dpl200	
	ura3-iro1::imm434/ura3-iro1::imm434::URA3-IRO1	
	ENO1/ENO1-tetR-ScHAP4AD-3XHA-ADE2	
	hyr1::dpl200/HIS1-pTR-HYR1	
DAY185	ura3-iro1::imm434/ura3-iro1::imm434	[17]
	his1::hisG::pHIS1/his1::hisG	
	arg4::hisG::ARG4-URA3/arg4::hisG	
CJN702	ura3-iro1::imm434/ura3-iro1::imm434	[17]
	his1::hisG::pHIS1/his1::hisG	
	arg4::hisG/arg4::hisG	
	bcr1::ARG4/bcr1::URA3	

Cepas		
Candida albicans	Genotipo	Fuente
Cepas		
CJN698	ura3-iro1::imm434/ura3-iro1::imm434	[17]
	his1::hisG::pHIS1-BCR1/his1::hisG	
	arg4::hisG/arg4::hisG	
	bcr1::ARG4/bcr1::URA3	
CJN1144	ura3-iro1::imm434/ura3-iro1::imm434	[17]
	his1::hisG::pHIS1-P _{TEF1} -ALS1-t _{TEF1} /his1::hisG	
	arg4::hisG/arg4::hisG	
	bcr1::ARG4/bcr1::URA3	
CJN1153	ura3-iro1::imm434/ura3-iro1::imm434	[17]
	his1::hisG::pHIS1-P _{TEF1} -ALS3-t _{TEF1} /his1::hisG	
	arg4::hisG/arg4::hisG	
	bcr1::ARG4/bcr1::URA3	
CJN1222	ura3-iro1::imm434/ura3-iro1::imm434	[17]
	his1::hisG::pHIS1-P _{TEF1} -HWP1-t _{TEF1} /his1::hisG	
	arg4::hisG/arg4::hisG	
	bcr1::ARG4/bcr1::URA3	
CJN1259	ura3-iro1::imm434/ura3-iro1::imm434	[17]
	his1::hisG::pHIS1-P _{TEF1} -HYR ₁ -t _{TEF} his1::hisG	I
	arg4::hisGlarg4::hisG	I
	bcr1::ARG4/bcr1::URA3	I
CJN1276	ura3-iro1::imm434/ura3-iro1::imm434	[17]
	his1::hisG::pHIS1-P _{TEF1} -RBT51-t _{TEF1} /his1::hisG	
	arg4::hisGlarg4::hisG	

Cepas		
Candida albicans	Genotipo	Fuente
Cepas		
	bcr1::ARG4/bcr1::URA3	
CJN1281	ura3-iro1::imm434/ura3-iro1::imm434	[17]
	his1::hisG::pHIS1-P _{TEF1} -CHT2-t _{TEF1} /his1::hisG	
	arg4::hisG/arg4::hisG	
	bcr1::ARG4/bcr1::URA3	
CJN1288	ura3-iro1::imm434/ura3-iro1::imm434	[17]
	his1::hisG::pHIS1-P _{TEF1} -ECE1-t _{TEF1} /his1::hisG	
	arg4::hisG/arg4::hisG	
	bcr1::ARG4/bcr1::URA3	
Cepa BG14 de Candida glabrata	ura3Δ(-85 + 932)::Tn903NeoR	[17]
Oligonucleótidos		<u> </u>
Oligonucleótidos utilizados	para producir y confirmar la cepa de sobreexpresión/supresión condicional de	e HYR1
P1	5'-ACTTGGCACCAGGAACAAC	
P2	5'- ACAGCTTTATCTCAGAAAAACTAGTAATAACAACATGAAAGTGGTATCA	
P3	5'- CGACAAACACAACGGCACATTCTGGTTTCAACAAACTGGAATACTTTG	
P4	5'-AGCAGTAACACAACCAGTACCT	
PH1	5'-GTCGTCGCTGTTTTGTC	
PH2	5'-CGTTGGAGAAGGTAATTGTGA	
P5	5'-CAGCATGAACAATCAAAGACGA	
P6	5'-CAAAGTATTCCAGTTTGTTGAAACC	
Oligonucleótidos utilizados	para detectar la expresión <i>in vitro</i>	
HER1 específico1	5'-CGTCAACCTGACTGTTACATC	

Cepas				
Candida albicans Cepas	Genotipo	Fuente		
HYR1 específico2	5'-TCTACGGTGGTATGTGGAAC			
EFB1a	5'-ATTGAACGAATTCTTGGCTGAC			
EFB1b	5'-CATCTTCTRCAACAGCAGCTTG			
Oligonucleótidos utiliz	rados para la expresión <i>in vivo</i>			
EFB1F	5'-CACAAACCAATACATAATG			
EFB1R	5'-GTAGACAGTGACATCAGC			
EFB1nF	5'-TCAGATTTCTCTAAAGTCG			
EFB1nR	5'-TGACATCAGCTTGAGTGG			
G3PDHF	5'-GTCTTCACCACCATGGAGAAGG			
G3PDHR	5'-TCGCTGTTGAAGTCAGAGGAGA			
Oligonucleótidos utiliz	rados para confirmar URA3-IRO1 en su locus original			
URA3 Conf1	5'-TGCTGGTTGGAATGCTTATTTG			
URA3 Conf2	5'-TGCAAATTCTGCTACTGGAGTT			
Oligonucleótidos utiliz	rados para la construcción de expresión de HYR1 en C. glabrata			
CG-Hyr1-a	5'-ATATAAAACATCTAGATGAAAGTGGTATCAAACTTTATATTC			
CG-Hyr1-b	5'-GGGTTGTGTTCTCGATCACATGAATAAAACAACCATG			

Ejemplo II

10

15

rHyr1p-N es una vacuna contra la candidiasis diseminada

Antecedentes: Hallamos que la sobreexpresión de *HYR1* en *Candida albicans* media la resistencia a la destrucción por neutrófilos in vitro. Buscamos determinar el impacto de la sobreexpresión de *HYR1* sobre la carga fúngica tisular in vivo durante la infección y definir el potencial de vacunación con rHyr1p-N para proteger contra candidiasis diseminada en ratones.

Métodos: Se infectó a los ratones a través de la vena de la cola con C. *albicans* con sobreexpresión/supresión de *HYR1* o natural. Se cosecharon los hígados y bazos 1 día después de la infección y se determinaron los niveles de expresión de *HYR1* y la carga fúngica tisular mediante qRT-PCR y cultivo cuantitativo, respectivamente. Para la vacunación, se produjo rHyr1p-N en el sistema de expresión pQE-32 de *E. coli* y se purificó según las instrucciones del fabricante (Qiagen). Se vacunó a los ratones con 20 µg de rHyr1p-N en adyuvante completo de Freund (CFA), se los reforzó en adyuvante incompleto de Freund (IFA) a las 3 semanas y se los infectó con la cepa SC5314 de *C. albicans* dos semanas después del refuerzo. Los ratones testigo recibieron adyuvante más extracto celular de *E. coli* transformado con plásmido vacío.

Resultados: La sobreexpresión de *HYR1* aumentó significativamente la carga fúngica en los hígados y bazos en comparación con la cepa testigo. La supresión de *HYR1* redujo significativamente la carga fúngica en los hígados y bazos en comparación con la cepa testigo. El nivel relativo de expresión de *HYR1* fue de 2,5 y 0,8 en hígados infectados con la cepa de sobreexpresión o supresión con respecto a la cepa testigo, respectivamente. La vacuna de rHyr1p-N resultó en 62,5 % de supervivencia a largo plazo de ratones infectados con respecto a 0 % de supervivencia en ratones testigo.

Conclusiones: La expresión de *HYR1* afecta la capacidad de *C. albicans* para infectar tejidos in vivo. Además, la vacunación con rHyr1p-N protegió de forma marcada a los ratones contra la candidiasis diseminada. La vacuna de rHyr1p-N es útil para prevenir la candidiasis diseminada.

10 REFERENCIAS

5

25

- 1. Spellberg BJ, Filler SG y Edwards JE, Jr. Current treatment strategies for disseminated candidiasis. Clin Infect Dis. 2006;42:244-251
- 2. Del Poeta M. Role of Phagocytosis in the Virulence of Cryptococcus neoformans. Eukaryot Cell 2004;3:1067-1075
- 3. Koh AY, Kohler JR, Coggshall KT, Van Rooijen N y Pier GB. Mucosal damage and neutropenia are required for Candida albicans dissemination. PLoS Pathog. 2008;4:DOI:10.1371/journal.ppat.0040035.
 - 4. Gulay Z, Imir T. Anti-candidial activity of natural killer (NK) and lymphokine activated killer (LAK) lymphocytes in vitro. Immunobiology 1996;195:220-230
 - 5. Stone HH. Studies in the pathogenesis, diagnosis, and treatment of Candida sepsis in children. J Pediatr Surg. 1974;9:127-133
- 20 6. Richard M, Ibata-Ombetta S, Dromer F, Bordon-Pallier F, Jouault T y Gaillardin C. Complete glycosylphosphatidylinositol anchors are required in Candida albicans for full morphogenesis, virulence and resistance to macrophages. Mol. Microbiol. 2002;44
 - 7. Bailey DA, Feldmann PJ, Bovey M, Gow NA y Brown AJ. The Candida albicans HYR1 gene, which is activated in response to hyphal development, belongs to a gene family encoding yeast cell wall proteins. J Bacteriol. 1996;178:5353-5360
 - 8. Fu Y, Luo G., Spellberg BJ, Edwards JE, Jr y Ibrahim AS. Gene overexpression/suppression analysis of candidate virulence factors of Candida albicans. Eukaryot Cell. 2008;7:483-492
 - 9. Nusing R, Goerig M, Habenicht AJ and Ullrich V. Selective eicosanoid formation during HL-60 macrophage differentiation. Regulation of thromboxane synthase. Eur J Biochem 1993;212:371-376
- 30 10. Spellberg BJ, Collins M, French SW, Edwards JE, Jr., Fu Y y Ibrahim AS. A phagocytic cell line markedly improves survival of infected neutropenic mice. J Leukoc Biol 2005;78:338-344
 - 11. Eiden-Plach A, Zagorc T, Heintel T, Carius Y, Breinig F. Viral preprotoxin signal sequence allows efficient secretion of green fluorescent protein by Candida glabrata, Pichia pastoris, Saccharomyces cerevsiae, and Schizosaccharomyces pombe. Appl.Environ.Microbiol 2004;70:961-966
- 35 12. Avrova AO, Venter E, Birch PR y Whisson SC. Profiling and quantifying differential gene transcription in Phytophthora infestans prior to and during the early stages of potato infection. Fungal Genetics & Biology 2003;40:4-14
 - 13. Saville SP, Lazzell AL, Monteagudo C y Lopez-Ribot JL. Engineered control of cell morphology in vivo reveals distinct roles for yeast and filamentous forms of Candida albicans during infection. Eukaryot Cell 2003;2:1053-1060.
- 40 14. Spellberg B, Ibrahim AS, Yeaman MR, et al. The antifungal vaccine derived from the recombinant N terminus of Als3p protects mice against the bacterium Staphylococcus aureus. Infect Immun. 2008;76:4574-4580
 - 15. Fu Y, Ibrahim AS, Sheppard DC, Chen YC, French SW y Cutler JEea. Candida albicans Als1p: an adhesin that is a downstream effector of the EFG1 filamentation pathway. Mol Microbiol 2002;44:61-72
- 16. Ibrahim AS, Spellberg BJ, Avenissian V, Fu Y, Filler SG y Edwards JEJ. Vaccination with rAlslp-N improves survival during murine disseminated candidiasis by enhancing cell-mediated, not humoral, immunity. Infect Immun 2005;73:999-1005
 - 17. Nobile CJ, Andes DR, Nett JE, et al. Critical role of Bcr1-dependent adhesins in C. albicans biofilm formation in vitro and in vivo. PLoS Pathog. 2006;2:e63

- 18. Fradin C, De Groot P, MacCallum D, et al. Granulocytes govern the transcriptional response, morphology and proliferation of Candida abicans in human blood. Molecular Microbiology 2005;56:397-415
- 19. Castano I, Pan SJ, Zupancic M, Hennequin C, Dujon B y Cormack BP. Telomere length control and transcriptional regulation of subtelomeric adhesins in Candida glabrata. Mol Microbiol 2005;55:1246-1258
- 5 20. Schofield DA, Westwater C, Warner T, Nicholas PJ, Paulling EE y Balish E. Hydrolytic gene expression during oroesophageal and gastric candidiasis in immunocompetent and immunodeficient gnotobiotic mice. J Infect Dis 2003;188:591-599
 - 21. Kumamoto CA, Vinces MD. Contributions of hyphae and hypha-co-regulated genes to Candida albicans virulence. Cell Microbiol. 2005;7:1546-1554
- 10 22. Frohner IE, Bourgeois C, Yatsyk K, Majer O y Kuchler K. Candida albicans cell surface superoxide dismutases degrade host-derived reactive oxygen species to escape innate immune surveillance. Mol Microbiol 2009;71:240-252

LISTA DE SECUENCIAS

<110> LOS ANGELES BIOMEDICAL RESEARCH INSTITUTE AT HARBOR-UCLA MEDICAL CENTER FU, Yue LUO, Guanpingsheng IBRAHIM, Ashraf SPELLBERG, Brad J. EDWARDS, Jr., John E.

<120> HYR1 COMO OBJETIVO PARA LA INMUNIZACIÓN ACTIVA Y PASIVA CONTRA CANDIDA

- 5 <130> 50665/003WO2
 - <140> No asignado aún
 - < 141> 2010-07-02
 - <150>US 61/223.005
 - < 151> 2009-07-03
- 10 <160> 2
 - <170> PatentIn version 3.5
 - <210> 1
 - < 211> 937
 - < 212> PRT
- 15 < 213> Candida albicans
 - <400> 1
 - Met Lys Val Val Ser Asn Phe Ile Phe Thr Ile Leu Leu Thr Leu Asn 1 5 10 15
 - Leu Ser Ala Ala Leu Glu Val Val Thr Ser Arg Ile Asp Arg Gly Gly 20 25 30
 - Ile Gln Gly Phe His Gly Asp Val Lys Val His Ser Gly Ala Thr Trp 35 40 45
 - Ala Ile Leu Gly Thr Thr Leu Cys Ser Phe Phe Gly Gly Leu Glu Val 50 60
 - Glu Lys Gly Ala Ser Leu Phe Ile Lys Ser Asp Asn Gly Pro Val Leu 65 70 75 80
 - Ala Leu Asn Val Ala Leu Ser Thr Leu Val Arg Pro Val Ile Asn Asn 85 90 95
 - Gly Val Ile Ser Leu Asn Ser Lys Ser Ser Thr Ser Phe Ser Asn Phe 100 105 110
 - Asp Ile Gly Gly Ser Ser Phe Thr Asn Asn Gly Glu Ile Tyr Leu Asp 115 120 125
 - Ser Ser Gly Leu Val Lys Ser Thr Ala Tyr Leu Tyr Ala Arg Glu Trp

	130					135					140				
Thr 145	Asn	Asn	Gly	Leu	Ile 150	Val	Ala	Tyr	Gln	Asn 155	Gln	Lys	Ala	Ala	Gly 160
Asn	Ile	Ala	Phe	Gly 165	Thr	Ala	Tyr	Gln	Thr 170	Ile	Thr	Asn	Asn	Gly 175	Gln
Ile	Cys	Leu	Arg 180	His	G ln	Asp	Phe	Val 185	Pro	Ala	Thr	Lys	Ile 190	Lys	Gly
Thr	Gly	Cys 195	Val	Thr	Ala	Asp	Glu 200	Asp	Thr	Trp	Ile	Lys 205	Leu	Gly	Asn
Thr	Ile 210	Leu	Ser	Val	Gl u	Pro 215	Thr	His	Asn	Phe	Tyr 220	Leu	Lys	Asp	Ser
Lys 225	Ser	Ser	Leu	Ile	Val 230	His	Ala	Val	Ser	Ser 235	Asn	Gl n	Thr	Phe	Thr 240
Val	His	Gly	Phe	Gly 2 4 5	Asn	Gly	Asn	Lys	Leu 250	Gly	Leu	Thr	Leu	Pro 255	Leu
Thr	Gly	Asn	Ar g 260	Asp	His	Phe	Arg	Phe 265	Glu	Tyr	Tyr	Pro	Asp 270	Thr	Gly
Ile	Leu	Gl n 275	Leu	Arg	Ala	Asp	Ala 280	Leu	Pro	G1n	Tyr	Phe 285	Lys	Ile	Gly
Lys	Gly 290	Туг	Asp	Ser	Lys	Leu 295	Phe	Arg	Ile	Val	Asn 300	Ser	Arg	Gly	Leu
Lys 305	Asn	Ala	Val	Thr	Туг 310	Asp	G1y	Pro	Val	Pro 315	Asn	Asn	Glu	Ile	Pro 320
Ala	Val	Cys	Leu	Ile 325	Pro	Cys	Thr	Asn	Gly 330	Pro	Ser	Ala	Pro	Glu 335	Ser
Glu	Ser	Asp	Leu 340	Asn	Thr	Pro	Thr	Thr 345	Ser	Ser	Ile	G lu	Thr 350	Ser	Ser
Tyr	Ser	Ser 355	Ala	Ala	Thr	Gl u	Ser 360	Ser	Val	Val	Ser	Glu 3 6 5	Ser	Ser	Ser
Ala	Val 370	Asp	Ser	Leu	Thr	Ser 375	Ser	Ser	Leu	Ser	Ser 380	Lys	Ser	Glu	Ser
Ser 385	Asp	Val	Val	Ser	Ser 390	Thr	Thr	Asn	Ile	Glu 3 9 5	Ser	Ser	Ser	Thr	Ala 400

Ile	Glu	Thr	Thr	Met 405	Asn	Ser	Glu	Ser	Ser 410	Thr	Asp	Ala	Gly	Ser 415	Ser
Ser	Ile	Ser	Gln 420	Ser	Glu	Ser	Ser	Ser 425	Thr	Ala	Ile	Thr	Ser 430	Ser	Ser
Glu	Thr	Ser 435	Ser	Ser	Glu	Ser	Met 440	Ser	Ala	Ser	Ser	Thr 445	Thr	Ala	Ser
Asn	Thr 450	Ser	Ile	Glu	Thr	Asp 455	Ser	Gly	Ile	Val	Ser 460	Gln	Ser	Glu	Ser
Ser 465	Ser	Asn	Ala	Leu	Ser 470	Ser	Thr	Glu	Gln	Ser 475	Ile	Thr	Ser	Ser	Pro 480
Gly	Gln	Ser	Thr	Ile 485	Tyr	Val	Asn	Ser	Thr 490	Val	Thr	Ser	Thr	Ile 495	Thr
Ser	Cys	Asp	Gl u 500	Asn	Lys	Cys	Thr	Glu 505	Asp	Val	Val	Thr	Ile 510	Phe	Thr
Thr	Val	Pro 515	Cys	Ser	Thr	Asp	Cys 520	Val	Pro	Thr	Thr	Gly 525	Asp	Ile	Pro
Met	Ser 530	Thr	Ser	Tyr	Thr	Gln 535	Arg	Thr	Val	Thr	Ser 540	Thr	Ile	Thr	Asn
Cys 545	Asp	Glu	Val	Ser	Cys 550	Ser	Gln	Asp	Val	Val 555	Thr	Tyr	Thr	Thr	Asn 560
Val	Pro	His	Thr	Thr 565	Val	Asp	Ala	Thr	Thr 570	Thr	Thr	Thr	Thr	Ser 575	Thr
Gly	Gly	Asp	A sn 580	Ser	Thr	Gly	Gly	Asn 585	Glu	Ser	Gly	Ser	As n 590	His	Gly
Pro	Gly	As n 595	Gly	Ser	Thr	Glu	Gly 600	Ser	Gly	Asn	Gly	Ser 605	Gly	Ala	Gly
Ser	Asn 610	Glu	Gly	Ser	Gln	Ser 615	Gly	Pro	Asn	Asn	Gly 620	Ser	Gly	Ser	G1y
Ser 625	Glu	Gly	Gly	Ser	Asn 630	Asn	Gly	Ser	_	Ser 635	Asp	Ser	Gly	Ser	Asn 640

Glu	Gly	Ser	Glu 660	Gly	Gly	Ser	Gly	Ser 665	Asn	Gl u	Gly	Ser	Gln 670	Ser	Gly
Ser	Gly	Ser 675	Gln	Pro	Gly	Pro	A sn 680	Glu	Gly	Ser	Gl u	Gly 685	Gly	Ser	Gly
Ser	Asn 690	Glu	Gly	Ser	Asn	His 695	Gly	Ser	Asn	Gl u	Gly 700	Ser	Gly	Ser	Gly
Ser 705	Gly	Ser	Gly	Ser	Asn 710	Asn	G1y	Ser	Gly	Ser 715	Gly	Ser	Gln	Ser	Gly 720
Ser	Gly	Ser	Gly	Ser 725	Gln	Ser	Gly	Ser	G1u 730	Ser	Gly	Ser	Asn	Ser 735	Gly
Ser	Asn	Glu	Gly 740	Ser	Asn	Pro	Gly	Ala 745	Gly	Asn	Gly	Ser	A sn 750	Glu	Gly
Ser	Gly	Gln 755	Gly	Ser	Gly	Asn	Gly 760	Ser	Glu	Ala	Gly	Ser 765	Gly	Gln	Gly
Ser	Gly 770	Pro	Asn	Aşn	Gly	Ser 775	Gly	Ser	Gly	His	Asn 780	Asp	Gly	Ser	Gly
Ser 785	Gly	Ser	Asn	Gln	Gly 790	Ser	Asn	Pro	Gly	Ala 795	Gly	Ser	Gly	Ser	Gly 800
Ser	Glu	Ser	Gly	Ser 805	Lys	Ala	Gly	Ser	His 810	Ser	G1y	Ser	Asn	Gl u 81 5	Gly
Ala	Lys	Thr	Asp 820	Ser	Ile	Glu	Gly	Phe 825	His	Thr	Glu	Ser	Lys 830	Pro	Gly
Phe	Asn	Thr 835	Gly	Ala	His	Thr	Asp 840	Ala	Thr	Val	Thr	Gly 845	Asn	Ser	Val
Ala	As n 850	Pro	Val	Thr	Thr	Ser 855	Thr	Glu	Ser	Asp	Thr 860	Thr	Ile	Ser	Val
Thr 865	Val	Ser	Ile	Thr	Ser 870	Tyr	Met	Thr	Gly	Phe 875	Asp	Gly	Lys	Pro	Lys 880
Pro	Phe	Thr	Thr	Val 885	Asp	Val	Ile	Pro	Val 890	Pro	His	Ser	Met	Pro 895	Ser

Asn Gly Ser Ser Ile Val Thr Gly Gly Lys Ser Ile Leu Phe Gly Leu 915 920 925

Ile Val Ser Met Val Val Leu Phe Met 930 935

```
<210> 2
```

< 211> 326

< 212> PRT

< 213> Candida albicans

5 <400> 2

Thr Ser Arg Ile Asp Arg Gly Gly Ile Gln Gly Phe His Gly Asp Val

Lys Val His Ser Gly Ala Thr Trp Ala Ile Leu Gly Thr Thr Leu Cys 20 25 30

Ser Phe Phe Gly Gly Leu Glu Val Glu Lys Gly Ala Ser Leu Phe Ile 35 40 45

Lys Ser Asp Asn Gly Pro Val Leu Ala Leu Asn Val Ala Leu Ser Thr 50 55 60

Leu Val Arg Pro Val Ile Asn Asn Gly Val Ile Ser Leu Asn Ser Lys 65 70 75 80

Ser Ser Thr Ser Phe Ser Asn Phe Asp Ile Gly Gly Ser Ser Phe Thr 85 90 95

As As Gly Glu Ile Tyr Leu Ala Ser Ser Gly Leu Val Lys Ser Thr 100 105 110

Ala Tyr Leu Tyr Ala Arg Glu Trp Thr Asn Asn Gly Leu Ile Val Ala 115 120 125

Tyr Gln Asn Gln Lys Ala Ala Gly Asn Ile Ala Phe Gly Thr Ala Tyr 130 135 140

Gln Thr Ile Thr Asn Asn Gly Gln Ile Cys Leu Arg His Gln Asp Phe 145 150 155 160

Val Pro Ala Thr Lys Ile Lys Gly Thr Gly Cys Val Thr Ala Asp Glu 165 170 175

Asp Thr Trp Ile Lys Leu Gly Asn Thr Ile Leu Ser Val Glu Pro Thr

His Asn Phe Tyr Leu Lys Asp Ser Lys Ser Ser Leu Ile Val His Ala 195 200 205

Val	Ser	Ser	Asn	Gln	Thr	Phe	Thr	Val	His	Gly	Phe	Gly	Asn	Gly	Asn
	210					215					220				

Lys Leu Gly Leu Thr Leu Pro Leu Thr Gly Asn Arg Asp His Phe Arg 225 230 235 240

Phe Glu Tyr Tyr Pro Asp Thr Gly Ile Leu Gln Leu Arg Ala Ala Ala 245 250 255

Leu Pro Gln Tyr Phe Lys Ile Gly Lys Gly Tyr Asp Ser Lys Leu Phe 260 265 270

Arg Ile Val Asn Ser Arg Gly Leu Lys Asn Ala Val Thr Tyr Asp Gly 275 280 285

Pro Val Pro Asn Asn Glu Ile Pro Ala Val Cys Leu Ile Pro Cys Thr 290 295 300

Asn Gly Pro Ser Ala Pro Glu Ser Glu Ser Asp Leu Asn Thr Pro Thr 305 310 315 320

Thr Ser Ser Ile Glu Thr

REIVINDICACIONES

- 1. Una vacuna que comprende
- a) un polipéptido aislado opcionalmente fusionado con un compañero de fusión heterólogo; y
- b) un vehículo farmacéuticamente aceptable, donde la secuencia de aminoácidos de dicho polipéptido consiste en una secuencia de aminoácidos que tiene al menos 95 % de identidad con la secuencia de aminoácidos representada por la secuencia con SEQ ID N.º:2.
 - 2. La vacuna de la reivindicación 1, que además comprende un adyuvante.
 - 3. La vacuna de cualquiera de las reivindicaciones mencionadas anteriormente, donde la secuencia de aminoácidos se representa mediante la secuencia con SEQ ID N.º:2.
- 4. La vacuna de cualquiera de las reivindicaciones mencionadas anteriormente, donde dicho polipéptido se obtiene de una célula transformada.
 - 5. La vacuna de cualquiera de las reivindicaciones mencionadas anteriormente, donde dicha célula transformada es una célula de *Saccharomyces cerevisae* transformada.
- 6. Una cantidad inmunógena de una vacuna de cualquiera de las reivindicaciones mencionadas anteriormente para uso en el tratamiento o prevención de una infección por candidiasis.
 - 7. La vacuna de la reivindicación 6 para utilizar en el tratamiento de candidiasis diseminada.
 - 8. La vacuna para uso según la reivindicación 6 o 7, que se administra a través de inmunización activa, inmunización pasiva o una combinación de las mismas.
- 9. Un polipéptido aislado opcionalmente fusionado con un compañero de fusión heterólogo, donde la secuencia de aminoácidos de dicho polipéptido consiste en una secuencia de aminoácidos que tiene al menos 95 % de identidad con la secuencia de aminoácidos representada por la secuencia con SEQ ID N.º:2 para uso en el tratamiento o prevención de un infección por candidiasis.
 - 10. El polipéptido aislado para uso en el tratamiento o prevención de una infección por candidiasis según la reivindicación 9, donde dicho polipéptido consiste en la secuencia representada por SEQ ID N.º:2.
- 25 11. El polipéptido aislado para uso en el tratamiento o prevención de una infección por candidiasis según la reivindicación 10, donde dicho polipéptido se obtiene de una célula transformada.
 - 12. El polipéptido aislado para uso en el tratamiento o prevención de una infección por candidiasis según la reivindicación 11, donde dicha célula transformada es una célula de *Saccharomyces cerevisae* transformada.
- 13. La vacuna o polipéptido aislado de cualquiera de las reivindicaciones mencionadas anteriormente, donde dicho compañero de fusión heterólogo comprende una secuencia líder heteróloga.
 - 14. La vacuna o polipéptido aislado de cualquiera de las reivindicaciones mencionadas anteriormente, donde dicho compañero de fusión heterólogo comprende un etiqueta o una secuencia conectora.
 - 15. La vacuna o polipéptido aislado de la reivindicación 14, donde dicha etiqueta es una etiqueta de histidina.

Figura 1

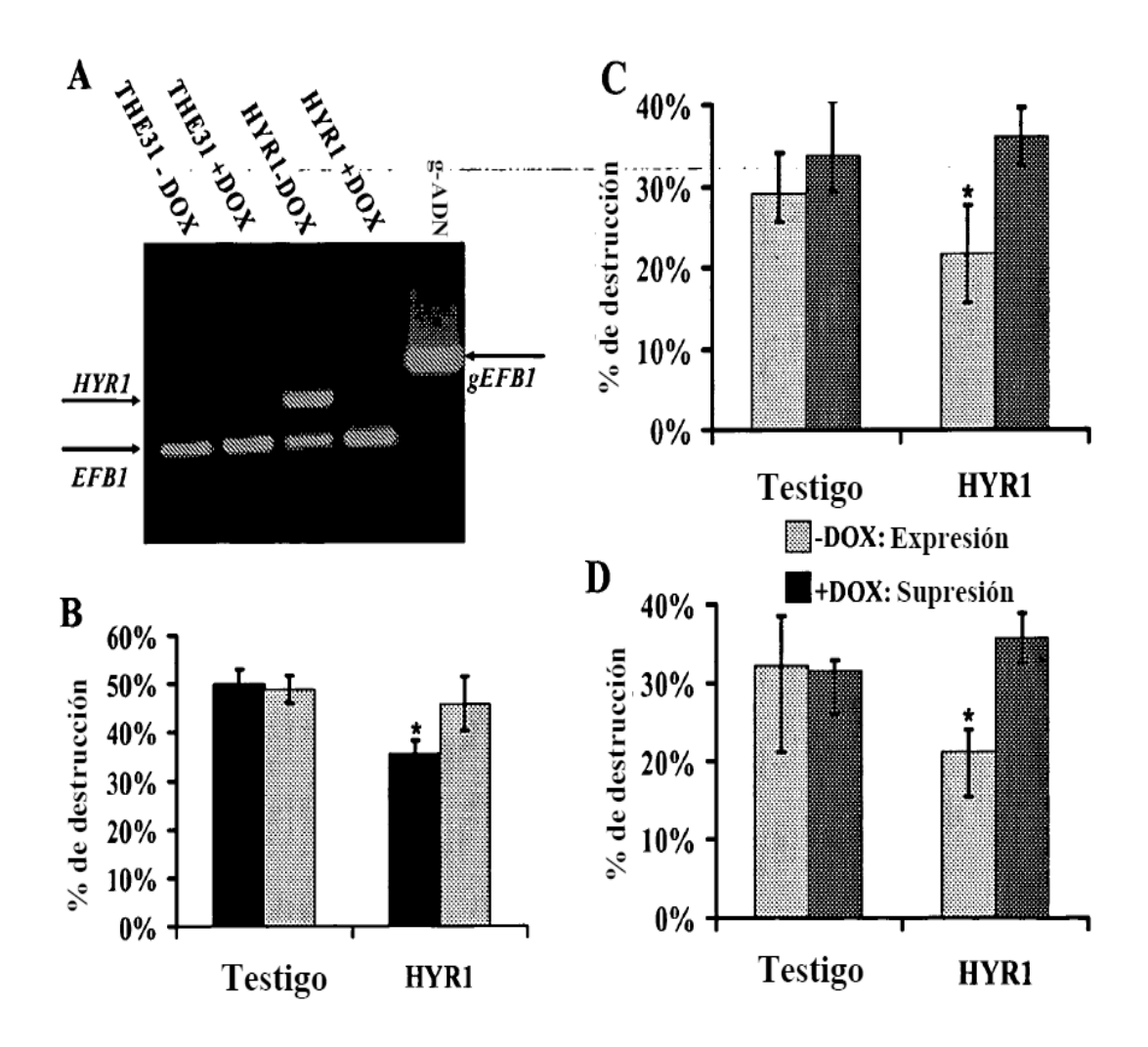


Figura 2

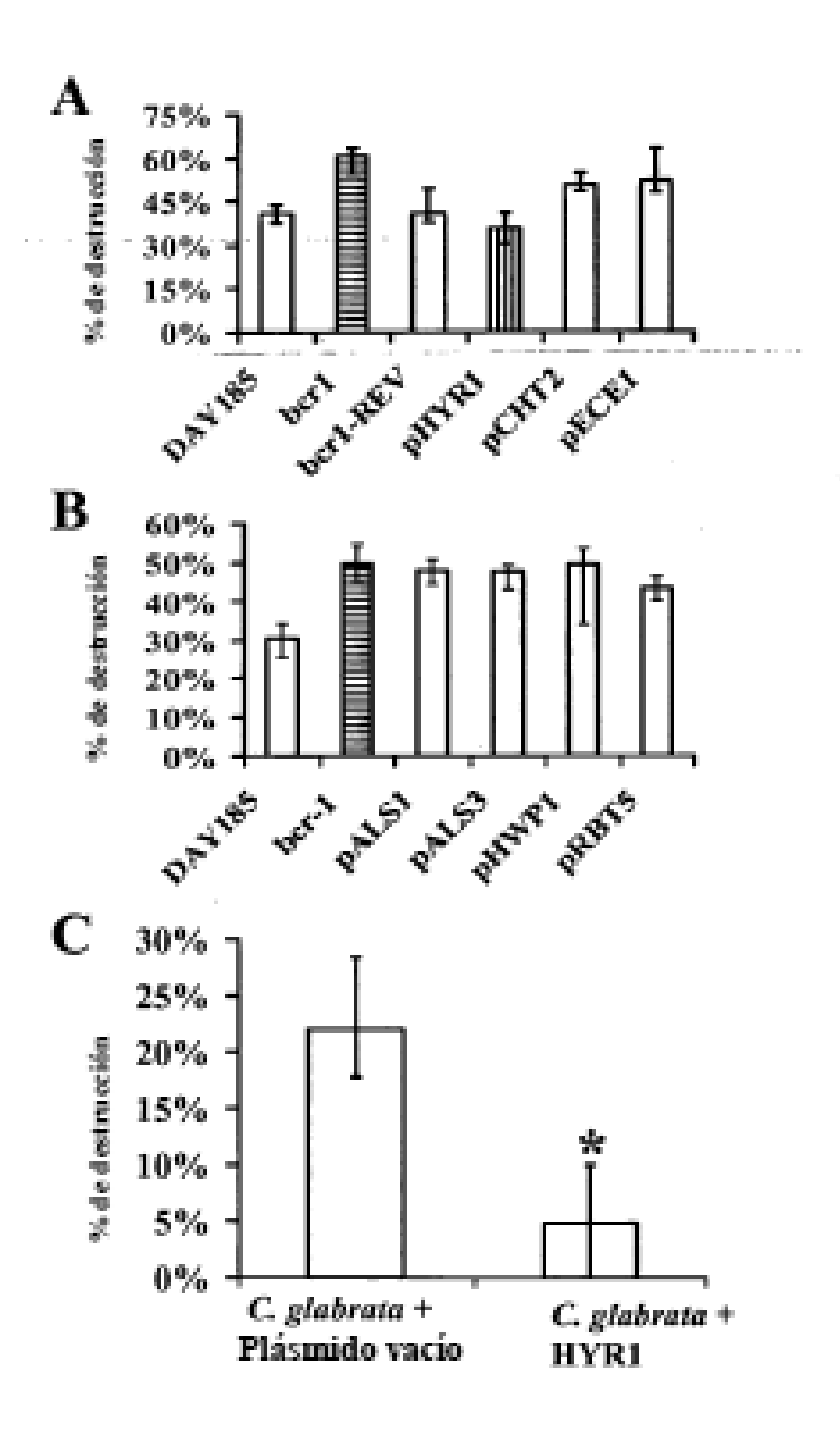


Figura 3

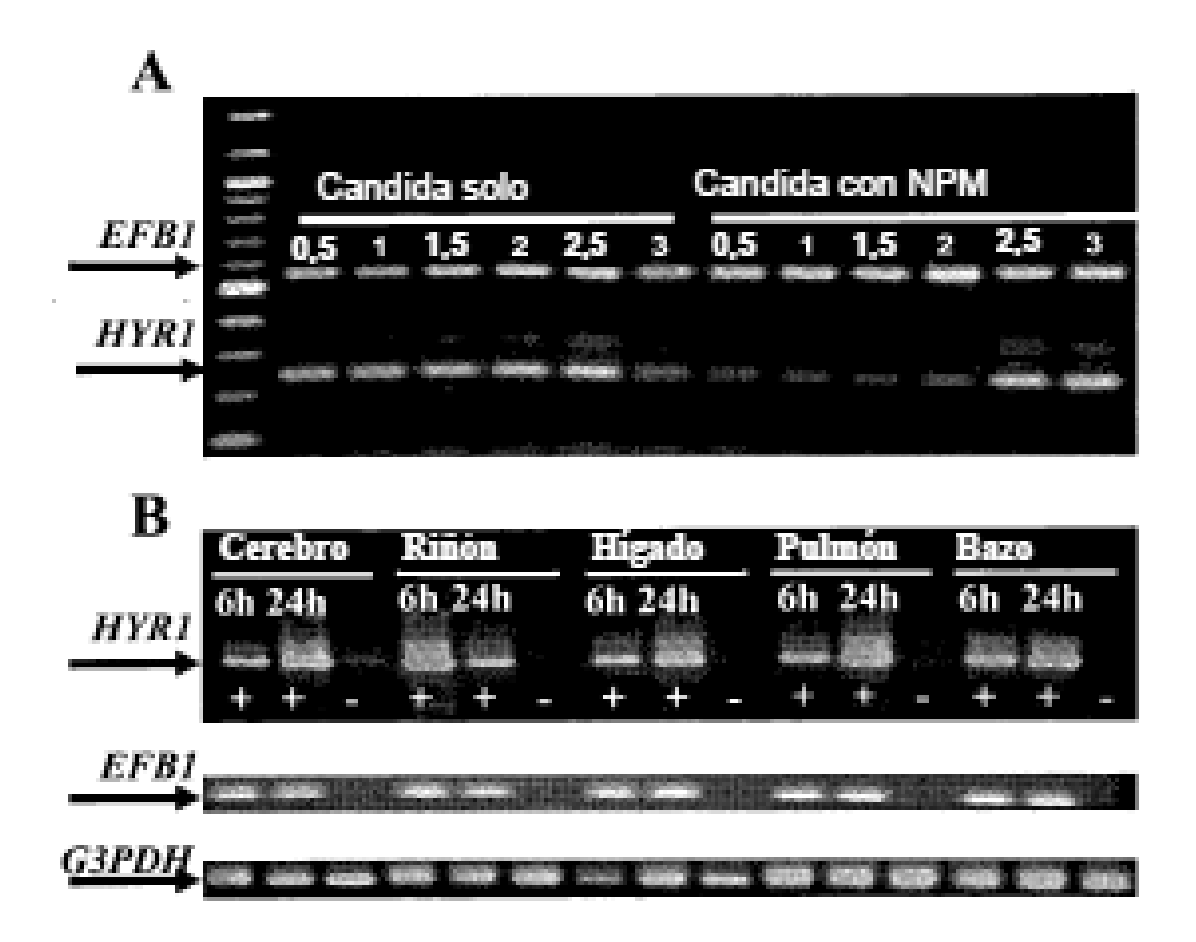


Figura 4

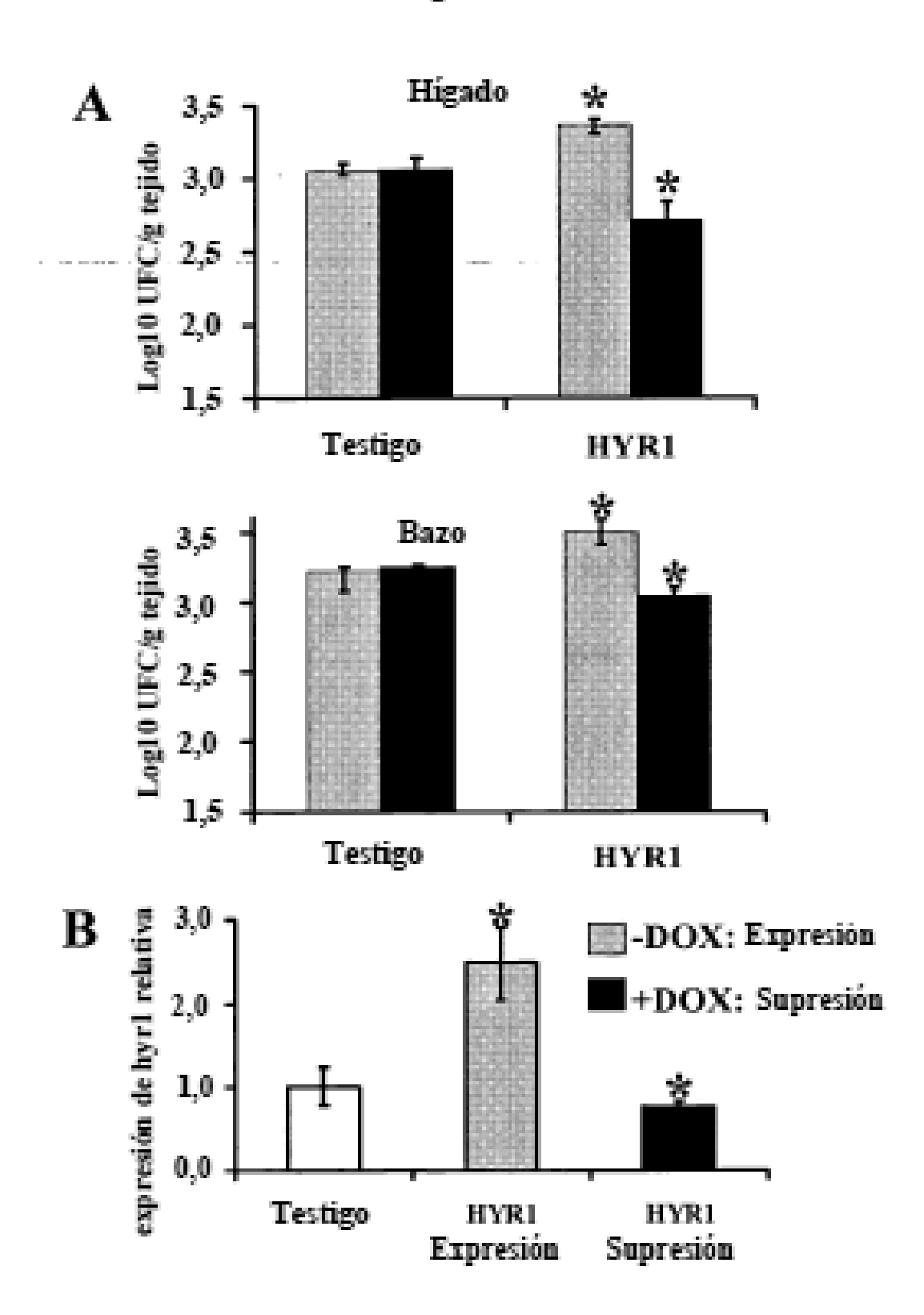


Figura 5

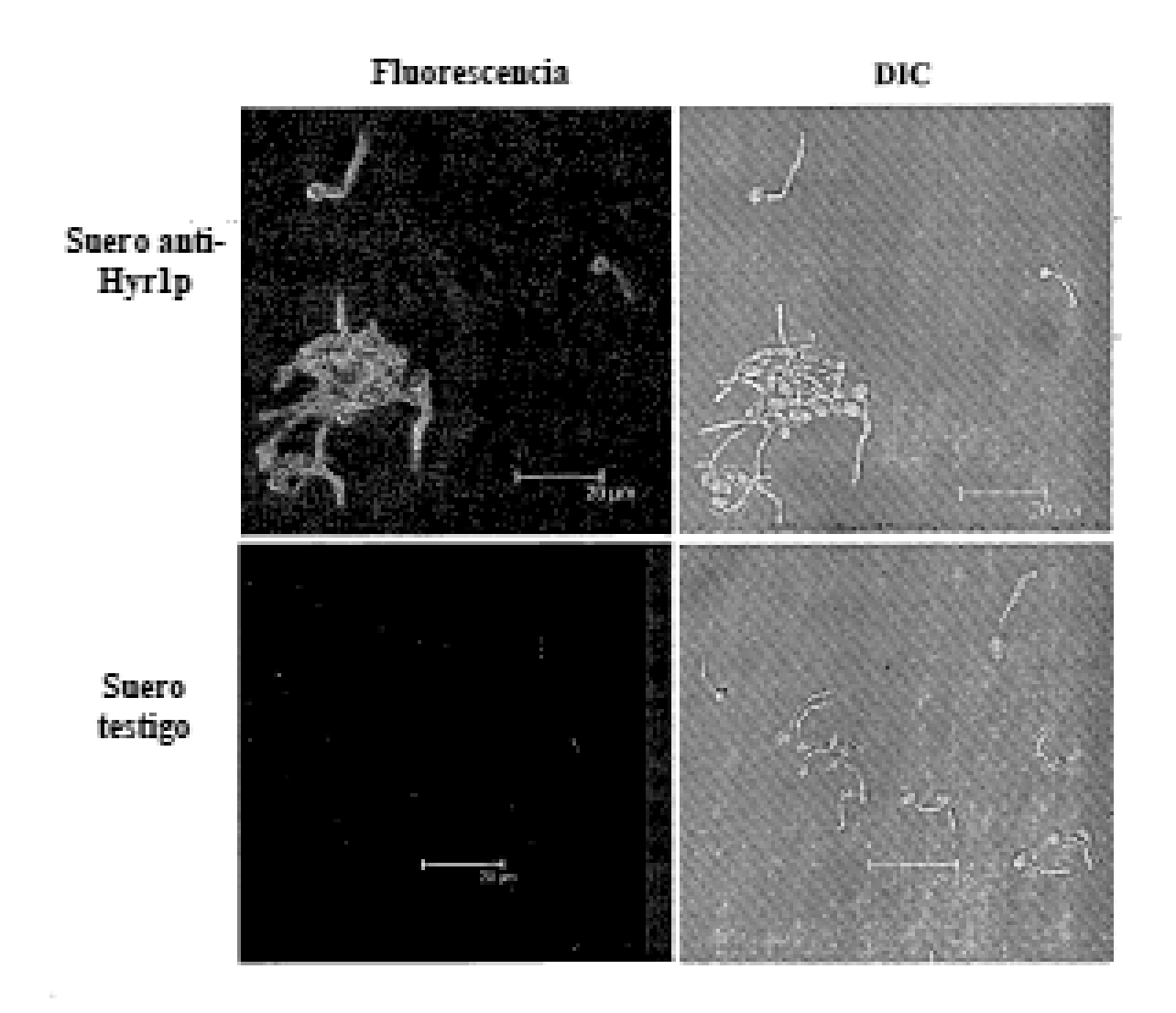


Figura 6

